

برآورده نرخ لغزش گسل‌های پیرامون به و کاربرد آن در ارزیابی خطر زمین‌لرزه

مرتضی طالبیان^{۱*}، سعید هاشمی طباطبایی^۲، مرتضی فتاحی^۳، عباس قلندرزاده^۴ و محمدعلی ریاحی^۵

^۱پژوهشکده علوم زمین، سازمان زمین‌شناسی و اکتشافات معدنی کشور، تهران، ایران

^۲مرکز تحقیقات ساختمان و مسکن، وزارت مسکن و شهرسازی، تهران، ایران

^۳موسسه ژئوفیزیک دانشگاه تهران، تهران، ایران

^۴پردیس دانشکده‌های فنی، دانشگاه تهران، تهران، ایران

^۵تاریخ دریافت: ۱۳۸۷/۰۳/۱۹ تاریخ پذیرش: ۱۳۸۷/۰۷/۲۰

چکیده

فلات ایران با قوارگیری بین دو صفحه عربی و اروپا-آسیا، سالانه حدود ۲۲ میلی‌متر از این کوتاه‌شدگی سبب چین خوردگی و گسل خوردگی در زاگرس می‌شود و باقی‌مانده آن به طور عمده در البرز و کوه داغ جای می‌گیرد. بلوک مرکزی ایران تغییر شکل اندکی دارد بنابراین، مناسب با میزان کوتاه‌شدگی در البرز و کوه داغ، با سرعت حدود ۱۳ میلی‌متر در سال به سوی شمال حرکت نماید. در خاور ایران، بلوک صلب و پایدار افغانستان تنفس برشی راستگردی را در خاور ایران ایجاد می‌نماید که حرکت چندانی نسبت به اوراسیا ندارد بنابراین حرکت به سوی شمال ایران مرکزی نسبت به بلوک افغانستان تنفس برشی راستگردی را در خاور ایران ایجاد می‌نماید که به ترتیب حدود ۸ و ۵ میلی‌متر در سال آن در راستای گسل‌های خاور و باختراشت لوث جای می‌گیرند. یکی از مشکلات برآورده خطر زمین‌لرزه در خاور ایران کمبود داده‌های زمین‌لرزه‌ای، ژئودیک و ناشناخته بودن نرخ لغزش گسل‌هاست. از این رو در این پژوهش سعی شده است تا به کمک داده‌های موجود زمین‌شناسی و منابعی مطلق شیوه توزیع حرکت راستالغاز روی گسل‌های این ناحیه تا حدودی برآورد شود. در ادامه با توجه به اهمیت گسل‌بم-برآوات و گسل زمین‌لرزه‌ای جنوب بم در برآورد خطر زمین‌لرزه در شهر بم این گسل به طور خاص مورد مطالعه قرار گرفته است. نمونه گیری از آبرفت‌های برخاسته در اثر جنبش گسل‌بم-برآوات در انتهای جنوبی این گسل، و تعیین مبن مطلق آنها به روش لومنسانس نوری، نرخ برخاستگی حدود ۱/۵ میلی‌متر در سال و برای این گسل مشخص می‌نماید. از آن‌جا که جنبش این گسل از نظر هندسی با گسل جنوب بم در ارتباط است، بنابراین به کمک این مبن‌بایی نرخ لغزش راستالغاز راستگرد گسل جنوب بم نیز حدود ۲ میلی‌متر در سال برآورد می‌شود.

کلیدواژه‌ها: بم، زمین‌لرزه، ایران، نرخ لغزش، گسل

*نویسنده مسئول: مرتضی طالبیان

۱- مقدمه

۲- زمین ساخت و لوزه‌خیزی

به طور کلی راستای گسل‌های خاور ایران شمال-جنوبی و ساز و کار آنها راستالغاز راستگرد است. این سازوکار ناشی از حرکت به سوی شمال ایران مرکزی نسبت به بلوک صلب و پایدار افغانستان است که موجب ایجاد تنفس برشی در خاور ایران می‌شود. در بعضی مرکزی خاور ایران بلوک به نسبت هموار و غیر لرزه‌ای لوث قرار دارد. این بلوک در خاور و باختراشت به وسیله گسل‌های بزرگ و لرزه‌زا احاطه شده است. در دهه‌های اخیر گسل‌های باختراشت کویر لوث و بویزه گسل‌گوک که فعالیت چشمگیری را از خود نشان داده‌اند. جنبش این گسل حداقل ۵ زمین‌لرزه بزرگ را در دو دهه گذشته موجب شده است (Berberian et al., 2001). گسل زمین‌لرزه‌ای به طور کلی روزه‌ای از زمین‌لرزه ویرانگر (Envisat ASAR) مربوط به پیش و پس از زمین‌لرزه در اختیار بود و به کمک آن گسل زمین‌لرزه‌ای به در مکانی دور از انتظار در باختراشت گسل شناخته شده بم-برآوات شناسایی شد. گسل‌های پیرامون به در ادامه جنوبی سامانه گسل‌های باختراشت لوث قرار دارند که جنبش آنها در چند دهه اخیر زمین‌لرزه‌های به نسبت بزرگی را بویزه در منطقه گلباش و زرنده موجب شده است. اما هیچ گونه داده دستگاهی از جنبش گسل‌های پیرامون به پیش از رویداد اخیر در دست نیست و تراکم کم جمعیت در حاشیه کویر لوث موجب شده است که متأسفانه هیچ گونه داده تاریخی از جنبش‌های گذشته آن نیز در اختیار نباشد. از آنجا که برآورد خطر زمین‌لرزه بدون داشتن داده کافی بی اعتبار و غیر کاربردی است، در این بررسی سعی شده است تا به کمک روش‌های منابعی مطلق میانگین نرخ لغزش گسل‌بم-برآوات در درازای تاریخ زمین‌شناسی به دست آید. این داده‌ها به ما این امکان را می‌دهد که توان لرزه‌زنی این گسل و میزان خطر احتمالی زمین‌لرزه در شهر بم را برآورد نماییم. بدینه است مطالعات تکمیلی مانند بررسی‌های پاره‌نهانه لرزه‌شناسی و ایجاد شبکه‌های ژئودیک محلی می‌توانند در آینده اطلاعات کامل‌تری را در این زمینه فراهم نمایند.

زمین‌لرزه ۵ دی ماه ۱۳۸۲ (۲۶ دسامبر ۲۰۰۳) به یکی از ویرانگرهای زمین‌لرزه‌های تاریخ کشورمان است. این زمین‌لرزه، جان پیش از ۳۲ هزار نفر را گرفت و افزون بر شهر بم کهن‌ترین سازه‌ی بزرگ خشت و گلی جهان، ارگ بم، نیز ویران شد. زمین‌لرزه بم به طور گسترده‌ای مورد مطالعات لرزه‌نگاری و زمین‌شناسی قرار گرفت (e.g. Fielding et al., 2004; Talebian et al., 2004; Wang et al., 2004; Fialko et al., 2005; Nakamura et al., 2005; Funning et al., 2005; Tatar et al., 2005; Binet et al., 2005; Jackson et al., 2006). این زمین‌لرزه، تحسین زمین‌لرزه ویرانگر در سطح جهان بود که داده‌های با کیفیت بالا از ماهواره رادار (Envisat ASAR) مربوط به پیش و پس از زمین‌لرزه در اختیار بود و به کمک آن گسل زمین‌لرزه‌ای به در مکانی دور از انتظار در باختراشت گسل شناخته شده بم-برآوات شناسایی شد. گسل‌های پیرامون به در ادامه جنوبی سامانه گسل‌های باختراشت لوث قرار دارند که جنبش آنها در چند دهه اخیر زمین‌لرزه‌های به نسبت بزرگی را بویزه در منطقه گلباش و زرنده موجب شده است. اما هیچ گونه داده دستگاهی از جنبش گسل‌های پیرامون به پیش از رویداد اخیر در دست نیست و تراکم کم جمعیت در حاشیه کویر لوث موجب شده است که متأسفانه هیچ گونه داده تاریخی از جنبش‌های گذشته آن نیز در اختیار نباشد. از آنجا که برآورد خطر زمین‌لرزه بدون داشتن داده کافی بی اعتبار و غیر کاربردی است، در این بررسی سعی شده است تا به کمک روش‌های منابعی مطلق میانگین نرخ لغزش گسل‌بم-برآوات در درازای تاریخ زمین‌شناسی به دست آید. این داده‌ها به ما این امکان را می‌دهد که توان لرزه‌زنی این گسل و میزان خطر احتمالی زمین‌لرزه در شهر بم را برآورد نماییم. بدینه است مطالعات تکمیلی مانند بررسی‌های پاره‌نهانه لرزه‌شناسی و ایجاد شبکه‌های ژئودیک محلی می‌توانند در آینده اطلاعات کامل‌تری را در این زمینه فراهم نمایند.

را می‌توان با ترکیبی از اندازه‌گیری میزان حرکت نسبی آفریقا- اوراسیا و بردارهای لغزش زمین لرزه‌ها و همچنین اندازه‌گیری‌های اخیر بازشدگی دریای سرخ به دست آورده. بر این اساس، نرخ کوتاه‌شدگی در راستای تقریبی شمال-جنوب در ایران را می‌توان حدود ۳۰ میلی‌متر در سال در ۵۰ درجه خاوری و حدود ۴۰ میلی‌متر در سال در عرض ۶۰ درجه خاوری تعیین نمود (Jackson, 1992; DeMeta et al., 1994; Jackson, 1998; Chu & Gordon, 1998). از سوی دیگر بررسی داده‌های ژئودتیک اخیر مقداری کمتر و فقط حدود ۲۶ میلی‌متر در سال در ۶۰ درجه خاوری ژئودتیک می‌باشد (Sella et al., 2002; Verman et al., 2004; Masson et al., 2005). این تفاوت در سرعت حرکت اندازه‌گیری شده به وسیله برداشت‌های ژئودتیک و مدل‌های زمین‌ساختی افزون بر خطای در اندازه‌گیری‌ها می‌تواند بخشی به خاطر تفاوت در پنجره‌های زمانی این دو روش و یا تغییر در سرعت همگرایی صفحه‌های عربی و اوراسیا در چند میلیون سال اخیر باشد. با توجه به این که در برآورد خطر زمین لرزه نرخ فعلی لغزش گسل‌ها مورد نظر است. بنابراین در این بررسی مبنای محاسبات بر اساس اندازه‌گیری‌های ژئودتیک قرار داده شده است.

۲-۳. نوخ حروکت به سوی شمال ایران مرکزی

کوتاه‌شدگی در ایران به طور کلی در سه زون اصلی البرز- کوه‌های داغ، ایران مرکزی و زاگرس روی می‌دهد. با توجه به عرض جغرافیایی منطقه مورد مطالعه، جایه‌جایی راستالغز در این بخش از خاور ایران ناشی از حرکت نسبی به میزان مرکزی نسبت به بلوک افغانستان است بنابراین با برآورد این حرکت می‌توان به میزان کلی حرکت راستالغز در خاور ایران دست یافت. یک راه برآورد این میزان حرکت استفاده از مدل‌های صفحه‌های زمین‌ساختی و داده‌های ژئودتیک موجود است اما از آن جا که این داده‌های نرخ کوتاه‌شدگی در کل ایران را نشان می‌دهند، لذا نخست باید میزان کوتاه‌شدگی در زاگرس برآورد شود تا باقیمانده آن که مربوط به کوتاه‌شدگی در البرز- کوه‌های داغ و ایران مرکزی است، به دست آید.

(Jackson & McKenzie, 1984, 1988) و Jackson et al. (1995) میزان کوتاه‌شدگی در زاگرس را حدود ۱۰ تا ۱۵ میلی‌متر در سال پیشنهاد می‌نمایند. این میزان کوتاه‌شدگی وابسته به فرضیاتی است که برای آن در نظر گرفته‌اند اما به طور تقریبی با حدود ۵۰ کیلومتر کوتاه‌شدگی در زاگرس و با فرض این که بیشترین تغییر شکل زاگرس در ۵ میلیون سال اخیر روی داده باشد، همخوانی دارد. از سوی دیگر داده‌های شبکه ژئودتیک کشوری مقداری کمتر و حدود ۷ تا ۱۱ میلی‌متر کوتاه‌شدگی در زاگرس مرکزی و خاوری را نشان می‌دهند (Tatar et al., 2002; Verman et al., 2004). بنابراین با فرض این که کمینه مقدار کوتاه‌شدگی ایران حدود ۲۲ میلی‌متر در سال باشد، میانگین باقیمانده کوتاه‌شدگی یعنی حدود ۱۳ میلی‌متر در سال مربوط به کوتاه‌شدگی در ایران مرکزی و البرز- کوه‌های داغ است. داده‌های ژئودتیک همچنین مقدار ناجیز کوتاه‌شدگی در زون دگرگونه سنتدج- سیرجان و آتشفانی ارومیه- دختر و همچنین بخش داخلی ایران مرکزی نشان می‌دهند و به نظر می‌رسد که تقریباً تمامی دگرگشکلی در زون البرز- کوه‌های داغ و لبه شمالی ایران مرکزی متصرک شده است. بنابراین می‌توان نتیجه گرفت که بخش مرکزی ایران مرکزی با سرعت حدود ۱۳ میلی‌متر در سال نسبت به اوراسیا (و در نتیجه نسبت به بلوک افغانستان) به سوی شمال حرکت می‌نماید و این حرکت به همان میزان جایه‌جایی راستالغز در خاور ایران ایجاد می‌نماید. نرخ همگرایی صفحه‌های عربی به اوراسیا به سوی خاور افزایش می‌یابد (به عنوان مثال ۲۶ میلی‌متر در سال در ۶۰ درجه خاوری) بنابراین برآورد بالا کمینه میزان نرخ لغزش در خاور ایران است. متأسفانه به علت کمبود استنگاه‌های اندازه‌گیری ژئودتیک در پیرامون و بویژه داخل بلوک لوت، شیوه توزیع جایه‌جایی بر روی

گسل گوک به سوی جنوب به گسل سروستان متصل شده و سپس به وسیله راندگی در دامنه شمالی جبال بارز خاتمه می‌یابد. در جنوب باختری منطقه فعالیت لرزه‌ای پراکنده‌ای پیرامون گسل سروستان دیده می‌شود که به نظر در ارتباط با جنبش این گسل باشد. گسل میتاب در باختر این گسل یک مرز زمین‌شناسی مهم و جدا کننده زون ساختاری زاگرس از مکران است. صرف نظر از رومرک تعدادی از زمین لرزه‌ها که بر رو یا زندیکی این گسل واقع می‌شوند، بیشتر زمین لرزه‌های پیرامون آن در ایار ژرفای کانونی به نسبت بیشتر (تا حدود ۳۰ کیلومتر بوده) و به احتمال در ارتباط با راندگی‌های بخش خاوری زاگرس و فروزانش محلی پوسته قاره‌ای زاگرس به زیر ایران مرکزی است (Talebian and Jackson, 2004). در خاور کویر لوت گسل‌های نه، کهورک و نصرت‌آباد فعالیت لرزه‌ای به نسبت کمتری را در سده اخیر نشان می‌دهند. گسل زاهدان به وسیله راندگی سفیدابه در شمال خاتمه می‌یابد که جنبش آن در سال ۱۳۷۴ موجب رویداد ۵ زمین لرزه با بزرگی‌های ۵/۵ تا ۶/۲ شد (Berberian et al., 2000; Parsons et al., 2006).

۳- نوخ لغزش گسل‌ها در خاور ایران

به طور معمول برای تعیین پارامترهای مورد نیاز برآورد خطر زمین لرزه (ضرایب گوتبرگ- ریشر) از داده‌های دستگاهی و تاریخی زمین لرزه‌ها به همراه داده‌های زمین‌شناسی استفاده می‌شود. اما در منطقه‌ای مانند بم با داده‌های دستگاهی و تاریخی بسیار اندک (Ambraseys and Melville, 1982; Berberian, 1994) تعیین نرخ لغزش گسل‌ها نیاز به استفاده از دامنه وسیع تری از داده‌ها دارد. از نظر ساختاری جایه‌جایی در راستای گسل‌های راستالغز خاور ایران در ارتباط مستقیم با تغییر شکل و میزان کوتاه‌شدگی در ایران است. به این مفهوم که به سبب صلب و پایدار بودن بلوک افغانستان حرکت به سوی شمال ایران مرکزی ایجاد نتش برشی در خاور ایران می‌نماید که این نتش موجب حرکت راستالغز راستگرد گسل‌ها در خاور ایران می‌شود. از این رو در این بررسی نخست به چگونگی نرخ کوتاه‌شدگی در ایران و حرکت به سوی شمال ایران مرکزی می‌پردازیم و سپس به کمک آن نرخ کلی جایه‌جایی راستالغز در خاور ایران را برآورد می‌نماییم. در ادامه به کمک داده‌های زمین‌شناسی، ژئودتیک و سن‌یابی توزیع جایه‌جایی را بر روی گسل‌های خاور ایران موردنرسی قرار می‌دهیم.

۳-۱. نوخ گوتاه‌شدگی کلی در ایوان

همگرایی صفحه‌های عربی و صفحه‌های اوراسیا موجب تغییر شکل فلات ایران می‌شود. این تغییر شکل در خاور به وسیله بلوک صلب و پایدار افغانستان محدود می‌شود و از آنجایی که مرز زمین‌شناسی این تغییرات کم و بیش با مرز جغرافیایی ایران و افغانستان همخوانی دارد، کم و بیش تمامی تغییرشکل ناشی از آن در داخل مزهای کشورمان روی می‌دهد. اگر چه راستای کلی کوتاه‌شدگی کم و بیش مشخص و در راستای شمال- شمال خاوری است اما در میزان کوتاه‌شدگی و راستای دقیق‌تر آن اختلاف نظر وجود دارد. این اختلاف نظر بخشی به خاطر چگونگی تفسیر باز شدن دریای سرخ و خلیج عدن است (Demets et al., 1994 ; Jfestin et al., 1994; Chu and Gordon, 1998) (Mc Clusky et al., 2000; Sella et al., 2002; Mc Clusky et al., 2003). دیگر آن به خاطر کمبود داده‌های ژئودتیک و نرخ کوتاه‌شدگی کمتری که این داده‌های ایوان دارند، است (Verman et al., 2004). مدل قدیمی حرکت صفحه‌ها براساس بی‌هنجرایی‌های مغناطیسی سه میلیون سال اخیر در اقیانوس هند است که به خاطر پیچیده بودن حرکات صفحه‌ها در این بخش و چگونگی ارتباط با صفحه‌های آفریقا و سومالی از درجه اعتبار کمتری برخوردار است. بنابراین برآورد قابل اطمینان‌تر از این حرکت

معدودی از گسل‌ها تجمع می‌یابد، به مفهوم در نظر نگرفتن پتانسیل حرکت برای دیگر گسل‌ها از جمله گسل‌های ناشناخته است. بنابراین دور از انتظار نیست که این نرخ بالاتر از نرخ‌های به دست آمده به وسیله سن‌یابی و زمین‌ریخت‌شناسی باشد. از این رو به احتمال نرخ ژئودتیک، دست کم برای گسل‌های گوک و ناییند غیر واقع بینانه و بیش از اندازه است. (Walker & Jackson 2002)، بر اساس بررسی‌های زمین‌ریخت‌شناسی نرخ لغزش $2/4$ میلی‌متر در سال را برای گسل گوک برآورد می‌نمایند که با توجه به توضیح بالا و این که این برآورد، میانگین بازه زمانی طولانی‌تری است، احتمالاً واقع بینانه‌تر است. حرکت در راستای گسل گوک به سوی شمال به دو گسل ناییند و کوهبنان انتقال می‌یابد بنابراین برای هر کدام از این گسل‌ها انتظار نرخ لغزش کمتری نسبت به گسل گوک می‌رود. از این رو نرخ لغزش حدود $1/5$ میلی‌متر در سال که بر اساس داده‌های سن‌یابی به دست آمده است دقیق‌تر گسل‌ها در این منطقه نمی‌نمایند اما داده‌های اخیر سن‌یابی پیرامون گسل‌های این ناحیه می‌تواند آزمونی بر درستی و یا نادرستی بر آوردهای مبتنی بر داده‌های زمین‌شناسی باشد. تنها موردی که هر دو برآورد زمین‌شناسی و سن‌یابی مطلق برای آن در دست است گسل زاهدان در شمال خاوری منطقه مورد مطالعه و راندگی سفیدابه در انتهای شمالی آن است. لایه‌های زمین‌شناسی در راستای این گسل جایه‌جایی در حدود 13 کیلومتر روی داده باشد، نرخ لغزش راستالغز $2/6$ میلی‌متر در سال برای آن به دست خواهد آمد. گسل راستالغز زاهدان در انتهای شمالی خود به وسیله گسل راندگی سفیدابه خاتمه می‌یابد. پایان یافتن حرکت راستالغز به وسیله راندگی‌ها پدیدهای است که به خوبی در ایران و دیگر نقاط جهان شناخته شده است (e.g. Bayasgalan, 1999)

و میزان حرکت راندگی در یکی وابسته به میزان حرکت راستالغز در گسل دیگر دارد. جنبش گسل سفیدابه در سال 1372 پنج زمین‌لرزه با بزرگی $5/5$ تا $6/2$ را ایجاد نمود. گسیختگی سطحی همراه با این زمین‌لرزه‌ها ساز و کار نرم‌الریز را نشان می‌داد اما سازوکار کانونی آنها همگی راندگی و یا نگره جنبش گسل پنهان بود (Berberian et al., 2000). پس از رویداد زمین‌لرزه به منظور تعیین نرخ لغزش این گسل از رسوبات دریاچه‌ای پرخاسته بر اثر رشد گسل نموه برداری و به تازگی تعیین سن شده است (Parsons et al., 2005). نتایج سن‌یابی یا نگره نرخ همگرایی حدود $1/5$ میلی‌متر برای گسل راندگی سفیدابه است. راستای گسل سفیدابه زاویه‌ای در حدود 55 درجه با راستای کلی گسل زاهدان می‌سازد بنابراین $2/6$ میلی‌متر در سال حرکت راستالغز می‌تواند حدود $1/5$ میلی‌متر کوتاه‌شدگی (عمود بر راستای گسل) را برای گسل سفیدابه موجب شود:

$2.6 * \cos 55 = 1.49$

از این مقایسه یک نتیجه گیری جالب می‌توان داشت، که فرض رخ دادن بیشترین تغییر شکل در ایران در 5 میلیون سال اخیر، دست کم در این بخش از کشور دور از واقعیت نبوده و از آن می‌توان در برآورد نرخ لغزش دیگر گسل‌ها استفاده نمود.

نرخ لغزش‌های موجود برای گسل‌های پیرامون بم در شکل 1 نمایش داده شده است. فلش اشاره به گسل‌هایی است که داده‌هایی در ارتباط با نرخ لغزش آنها در دست است. فلش سرخ رنگ نرخ لغزش‌های به دست آمده براساس برسی‌های زمین‌شناسی و زمین‌ریخت‌شناسی و با فرض این که بیشترین تغییر شکل در خاور ایران در 5 میلیون سال اخیر داده است را نشان می‌دهد. فلش سبز رنگ نرخ‌های به دست آمده براساس سن‌یابی مطلق را نشان می‌دهد و فلش آبی رنگ بر اساس ترکیبی از داده‌های ژئودتیک و زمین‌شناسی است. نرخ اخیر با توجه به این که هیچ نقطه اندازه گیری در داخل بلوک لوت نداشته است، بیشتر بر پایه ترکیبی از گمانه‌های زمین‌شناسی و میزان کلی حرکت راستالغز در خاور ایران است (Vernant et al., 2004).

فرض این که جایه‌جایی دیده شده بین ایستگاه‌های برداشت ژئودتیک بر روی تعداد

۴- بروزی ویژگی‌های لوزه‌زمین‌ساختی گسل‌های زمین‌لرزه‌ای به

از آن جا که گسل‌های زمین‌لرزه‌ای به نزدیک ترین گسل‌ها به شهر بم بوده و بیشترین تأثیر را در برآورد خطر زمین‌لرزه دارند در این بخش به بروزی این گسل‌ها پرداخته می‌شود. زمین‌لرزه بم همراه با گسل خوردگی سطحی بود اما برخلاف انتظار این گسیختگی در محل گسل از پیش شناخته شده بهم برآوات دیده نشد. گسیختگی‌های سطحی در نخستین روز پس از زمین‌لرزه

دانه‌های ریز کوارتز، که کم و بیش به فراوانی در محیط صحرایی ایران یافت می‌شود، باشد. در این روش، زمان سپری شده از آخرین باری که نمونه آفتاب خورده است تعیین می‌شود، بنابراین سن به دست آمده در واقع بیانگر زمان جاری شدن سیلابی است که مواد خود را بر روی رسوبات کهنه تر نهشته است. حال چنانچه این رسوبات به وسیله جنبش گسل جابه‌جا شده باشند، با اندازه‌گیری میزان جابه‌جایی و سن نمونه می‌توان نرخ لغزش این گسل را تعیین نمود.

همان طور که در بخش‌های پیشین اشاره شد، گسل اصلی زمین لرزه به گسل راستالغز جنوب بم است. سازوکار این گسل به طور کامل راستالغز است از این رو رسوبات را به صورت شاقولی جابه‌جا نمایند و کاربرد روشن‌های سن‌یابی در این مورد بدون روشن‌های پیچیده حفر ترانشه‌های موازی و مطالعات پارینه لرزه‌شناختی امکان پذیر نیست. اما از آن جا که جنبش گسل جنوب بم با گسل بم-برآوات در ارتباط است (به بخش بعدی مراجعه نمایید) بنابراین با تعیین نرخ لغزش یکی می‌توان به نرخ لغزش دیگری دست یافته. این گسل اسکارپ مشخصی را در سطح زمین ایجاد نموده است که در راستای آن رسوبات دشت سیلابی و رودخانه‌ای تا حدود ۳۰ متر برخاستگی دارند. میزان جابه‌جایی به سمت جنوب و انتهای گسل کاهش می‌یابد. به منظور تعیین نرخ لغزش این گسل از بخش انتهای اسکارپ که جوان‌تر بوده و کمتر مورد فرسایش قرار گرفته است نمونه‌گیری شد. شکل‌های ۵ و ۶ مکان‌های نمونه‌گیری را در انتهایی ترین بخش برخاسته تاقدیس بهم-برآوات نشان می‌دهند. این رسوبات از نوع رودخانه‌ای بوده و در نتیجه رشد گسل، هم اکنون به میزان ۳۲۵ سانتی‌متر بالاتر از سطح آبراهه مجاور قرار دارند. به منظور کاهش خطأ، سه نمونه از ترازهای مختلف برداشته شده است. افزون بر آن، از این نمونه‌ها در تعیین نرخ رسوب‌گذاری دشت سیلابی نیز استفاده خواهد شد. سن این نمونه‌ها که به ترتیب از بالا به پایین با شماره‌های ۱ تا ۳ مشخص شده‌اند، در جدول ۱ نشان داده شده است. با توجه به توالي رسوبی، نمونه‌های بالاتر دارای سن جوان‌تر هستند و بالاترین لایه آن پیش از شروع برخاستگی تاقدیس بر جای گذاشته شده است بنابراین سن جوان‌ترین رسوبات بیانگر زمان شروع بالاًمدگی در آن بخش از تاقدیس است. پس از آن به علت بالا بودن این بخش نسبت به دشت پیرامون، رسوب‌گذاری بر روی آن متوقف شده و فرسایش شروع می‌شود. به علت محدودیت‌های روش سن‌یابی تعیین سن دقیق بالاترین لایه امکان پذیر نیست و نمونه‌ها باید همگی از ژرفای حداقل نیم متری برداشته شوند. نمونه شماره یک از ژرفای ۷۰ سانتی‌متری و ارتفاع ۲۵۵ سانتی‌متری نسبت به کف آبراهه مجاور برداشته شد و سنی که برای آن محاسبه شده است، حدود ۹۱۷۰ سال است. بدیهی است رسوبات بالایی جوان‌تر هستند پس چنانچه سن این نمونه به بالاترین لایه نسبت داده شود در آن صورت کمینه نرخ بالاًمدگی تاقدیس در این قسمت به روش برنتایج سن‌یابی است و از آنها می‌توان برای تعیین نرخ رسوب‌گذاری نیز استفاده نمود. بر این اساس میانگین نرخ رسوب‌گذاری حدود ۱/۸ میلی‌متر در سال است و از آنجا که سطح حاضر داشت به عنوان سطح مبنای محاسبات بالا استفاده شده است، بنابراین به منظور تعیین نرخ واقعی رشد تاقدیس بم-برآوات نرخ رسوب‌گذاری داشت نیز باید به آن اضافه شود:

$$0.35 + 0.18 = 0.53 \text{ mm/y}$$

یادآور می‌شود که نرخ‌های بالا بدون در نظر گرفتن فرسایش و این که بالاترین لایه در محل‌های نمونه‌گیری سن کمتری دارد، محاسبه شده بنابراین بیانگر کمینه مقدار هستند. از سوی دیگر این مقدار بالاًمدگی ناشی از مؤلفه شاقولی لغزش بر

در شمال به شناسایی شد اما گسل خورده‌گی زمین لرزه‌های اصلی در جنوب بهم تا زمان دریافت داده‌های ماهواره رادار (چند هفته بعد) همچنان ناشناخته مانده بود. گسیختگی جنوب بهم بزرگ‌ترین گسیختگی همراه با زمین لرزه بهم بود که نخستین بار به کمک داده‌های رادار (Envisat ASAR) (Talebian et al., 2004). گسل زمین لرزه‌ای در این بخش از چهار قطعه اصلی تشکیل شده است و در مجموع درازای آن حدود ۸ کیلومتر است (شکل ۳). این قطعات هر کدام از قطعات کوچک‌تری با درازای ۵۰ تا ۱۰۰ متر تشکیل شده‌اند و در مجموع روند کلی شمال-جنوب را دارند. بیشینه جابه‌جایی اندازه‌گیری شده در قطعه میانی و حدود ۲۰ سانتی‌متر است. قطعات گسلی به صورت پلکانی و با جهش به چپ به یکدیگر متصل می‌شوند و بیانگر حرکت راستالغز راستگرد هستند. جابه‌جایی شاقولی در راستای گسل ناچیز و تنها به طور محلی در انتهای قطعات و ناشی از انتقال حرکت از یک قطعه به قطعه دیگر است. قطعه جنوبی راستایی متفاوت (حدود ۵۰ تا ۶۰ درجه) داشته و حدود ۵ سانتی‌متر جابه‌جایی راستالغز راستگرد و ۱۲ سانتی‌متر جابه‌جایی شاقولی (فروافتادگی بلوک جنوب خاوری) نشان می‌دهد. انتهای شمالی گسل جنوب بهم به تدریج در حاشیه جنوبی شهر ناپدید شده و ادامه آن به داخل شهر قابل پیگیری نیست. در فاصله حدود ۴ کیلومتری خاور گسل جنوب بهم، گسل معکوس بم-برآوات دیده می‌شود. این گسل با درازای حدود ۱۲ کیلومتر مشخص ترین گسل موجود پیرامون بم است و نخستین بار به سیله Berberian (1976) گزارش شده و در نقشه‌های زمین‌شناسی به خوبی نمایش داده شده است. گسل بم-برآوات اسکارپ مشخصی را در سطح زمین ایجاد نموده است که به صورت چین خورده‌گی لایه رسوبات دانه‌ریز به احتمال با سن کواترنر زیرین در سطح زمین دیده می‌شود. شب اسکارپ در سمت خاور تند و در باخته ملایم است و بیانگر وجود گسلی معکوس با شب به سوی باخته و پنهان در زیر این تاقدیس است. در سطح زمین گسل بم-برآوات برش مشخصی از لایه‌ها را نشان نمی‌دهد.

پس از زمین‌لرزه، تنها درزه‌های بسیار کوچک با بازشدگی کمتر از ۱ سانتی‌متر در جلو این اسکارپ دیده شد. این بازشدگی‌ها بسیار ناچیز و این احتمال نیز وجود دارد که در ارتباط با جنبش نیرومند زمین و نشت رسوبات جوان باشد. اسکارپ گسل راندگی بم-برآوات به سوی شمال و جنوب به تدریج از بین می‌رود. این موضوع به صورت پلانج تاقدیس پوشانده گسل بویژه در بخش جنوبی آن دیده می‌شود. رشد تاقدیس به سوی جنوب همچنین موجب شده است که آبراهه‌هایی که از سوی باخته به خاور جریان دارند، از مسیر خود منحرف شده و به سوی انتهای جنوبی تاقدیس روان شوند. آثار عبور مستقیم آبراهه‌ها پیش از بالاًمدگی و در شروع رشد تاقدیس امروزه به صورت دره‌های خشک و پادگانه‌های آبرفتی بویژه در انتهای تاقدیس دیده می‌شوند. از این پادگانه‌ها برای تعیین سن مطلق نمونه گیری شده است که در ادامه به آن پرداخته خواهد شد.

۴- سن‌یابی مطلق و نرخ لغزش گسل جنوب بم

به طور معمول برای تعیین نرخ لغزش گسل‌ها از روش‌های مختلف سن‌یابی استفاده می‌شود که هر کدام مزیت‌ها و محدودیت‌های خاص خود را دارند. روش سن‌یابی ترمولومینسانس نوری یکی از جدیدترین و دقیق‌ترین روش‌های سن‌یابی است که به تازگی در بررسی‌های زمین‌شناختی کاربرد گسترده‌ای یافته است. مزیت روش یادشده در این است که در مناطق کویری باشد نور آفتاب زیاد بهترین نتیجه را به دست می‌دهد. از طرف دیگر نمونه‌گیری مورد استفاده فقط کافی است که حاوی

معکوس و ۸۰٪ آن را ناشی از حرکت راستالغز می‌داند.

۳-۴ بوآورد فرخ لغزش گسل زمین‌لرزه‌ای جنوب به

از محاسبات بالا نتیجه می‌گیریم که به طور متوسط نرخ لغزش گسل به-برآوات حدود ۰/۵۹ (۰/۵۲ تا ۰/۶۷) میلی‌متر در سال است. میانگین نسبت نرخ لغزش گسل به-برآوات به گسل جنوب به نیز حدود ۲۲٪ (۱۸ تا ۲۷) است. بنابراین به احتمال نرخ لغزش گسل جنوب به حدود ۲ میلی‌متر در سال خواهد بود. بدیهی است تعیین نرخ لغزش دقیق تر این گسل نیازمند به بررسی‌های تکمیلی و استفاده از روش‌های مختلف پاریته لرزه‌شناسی و یا ژئودتیک دارد.

۵- نتیجه‌گیری

به طور کلی با ترکیب نتایج به دست آمده از داده‌های سنیابی مطلق، ژئودتیک، زمین‌ساخت ناحیه‌ای، و زمین‌ریخت شناسی می‌توان به این نتیجه رسید که خاور ایران در مجموع حدود ۱۳ میلی‌متر در سال حرکت به سوی شمال ایران مرکزی (در طول جغرافیایی ۵۶ خاوری) را نسبت به افغانستان (در طول جغرافیایی ۶۱ خاوری) در خود جای می‌دهد. با توجه به غیر لرزه‌خیز بودن بخش مرکزی لوت بیشترین میزان این حرکت در راستای گسل‌های راستالغز خاور و باختراً لوت انجام می‌گیرد. در یک نگاه کلی، گسل‌های راستالغز خاور ایران اگر چه در بخش‌های مختلف اندکی نرخ لغزش گسل‌های راستالغز خاور ایران را در محدوده ۵ میلی‌متر در سال حرکت متفاوت است اما به طور کلی در محدوده ۱/۵ تا ۳ میلی‌متر در سال قرار می‌گیرند. بر اساس نتایج سن‌بابی میانگین رشد سالیانه اسکارپ گسل به-برآوات حدود ۰/۵ میلی‌متر در سال در راستای شاقولی است. این میزان بالا آمدگی با حدود دو میلی‌متر در سال حرکت راستالغز گسل زمین‌لرزه‌ای جنوب به در ارتباً است. با توجه به درازای گسل جنوب به این نرخ لغزش گشاور لازم برای رویداد دو زمین‌لرزه با بزرگی حدود ۶/۵ (بافرض حدود ۱۵ کیلومتر ستبرای لایه لرزه‌زا) در طی هزار سال را فراهم می‌نماید.

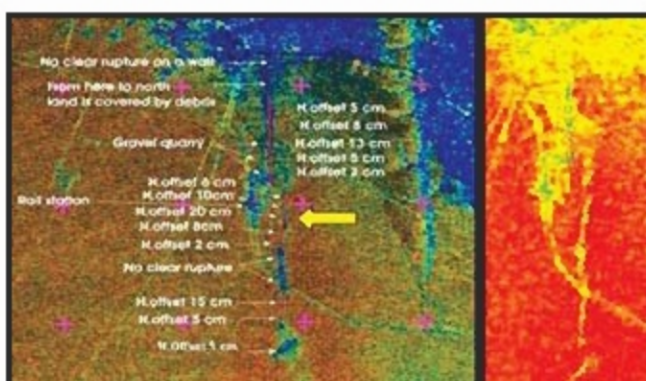
روی سطح گسل است اما با توجه به این که شب گسل حدود ۸۰-۷۰ درجه است (Jackson et al., 2006) بنابراین مؤلفه افقی لغزش ناچیز (حدود ۵٪) بوده و نرخ بالا آمدگی تاقدیس را می‌توان معادل نرخ لغزش بر روی سطح گسل در نظر گرفت.

۴-۲ بوآورد نسبت فرخ لغزش گسل راستالغز جنوب به گسل معکوس به-برآوات

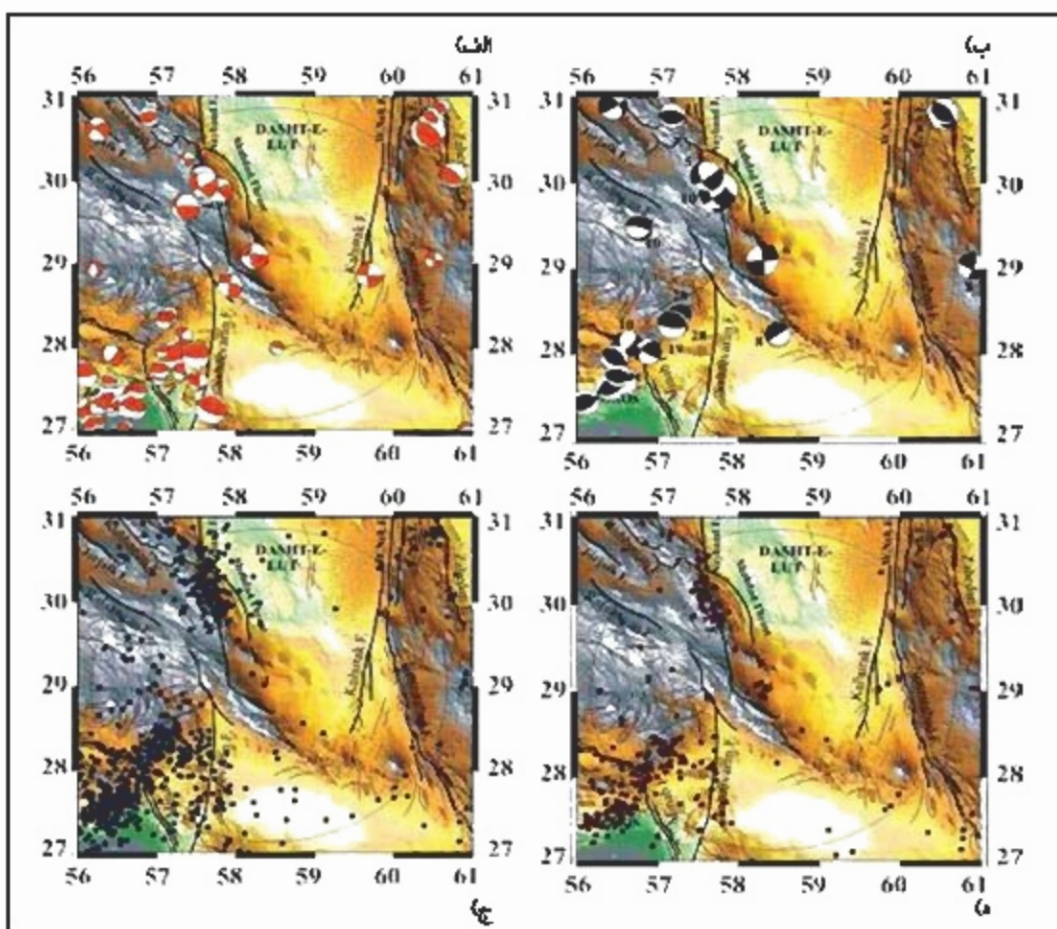
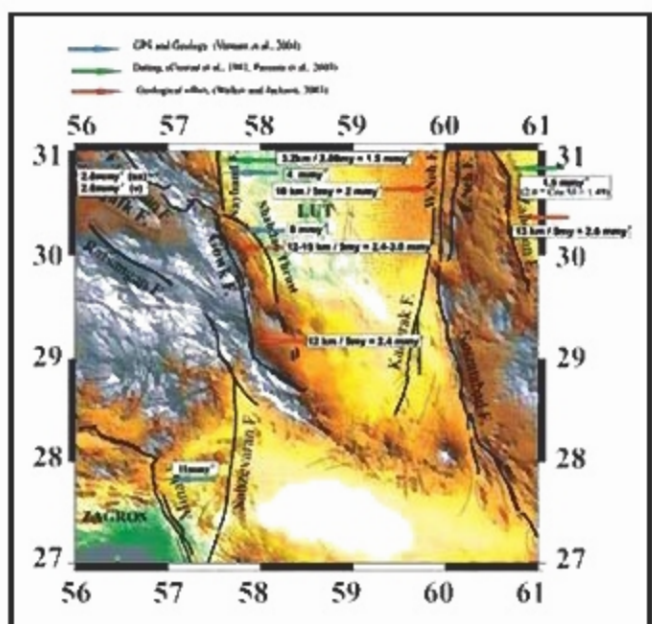
همانطور که پیش از این یادآوری شد، به کمک روش‌های سن یابی بوآورد مستقیم نرخ لغزش گسل راستالغز و پنهان جنوب به به آسانی امکان پذیر نیست. بنابراین می‌توان به طور غیر مستقیم از نرخ لغزش به دست آمده برای گسل به-برآوات استفاده کرد. بدین منظور لازم است جنبش نسبی این دو گسل نسبت به یکدیگر مورد بررسی قرار گیرد. در ادامه با استفاده از داده‌های ژئودتیک و زمین‌لرزه‌ای به بررسی این موضوع پرداخته می‌شود. McKlusky et al. (2003) بردار حرکت کلی عربستان نسبت به اوراسیا را بر اساس ایستگاه ژئودتیک بحرین دارای دو مؤلفه شمالی به میزان ۲۰/۷۹ و مؤلفه خاوری ۳۷/۲ میلی‌متر در سال تعیین می‌نمایند. Vernant et al., (2004) نیز این دو مؤلفه را ۲۲/۰۷ میلی‌متر شمالی و ۲/۹۷ میلی‌متر خاوری تعیین می‌نمایند. ایشان همچنین برای ایستگاه کرمان نیز این دو مؤلفه را ۱۶/۴۳ و ۱/۶۷ میلی‌متر در سال تعیین می‌نمایند. بنابراین می‌توان نتیجه گرفت که به طور متوسط بردار حرکتی ایران رو به شمال-شمال خاوری است و زاویه‌ای حدود ۶ تا ۱۰ درجه نسبت به شمال را دارد. از طرف دیگر، گسل به-برآوات نیز دارای روند حدود ۴ درجه در جهت شمال-شمال باختراً است بنابراین بردار حرکتی ایران زاویه‌ای در حدود ۱۰-۱۵ درجه با راستای گسل به-برآوات می‌سازد. همان طور که در بخش‌های پیشین اشاره شد، کوتاه شدنگی پوسته در منطقه به به دو مؤلفه راستالغز و معکوس تقسیم شده است که مؤلفه راستالغز آن بر روی گسل جنوب به و مؤلفه معکوس آن بر روی گسل به-برآوات جای می‌گیرد. نسبت این دو مؤلفه تابعی از زاویه تمایل حرکت کلی نسبت به راستای گسل‌ها است که با توجه به مقادیر بالا حدود ۱۸ تا ۲۷ درصد معکوس و مانده آن راستالغز تعیین می‌شود. این مقدار با یافته‌های Funning et al. (2004) که به کمک داده‌های ماهواره رادار زمین‌لرزه به مدل سازی نمودند نیز همانگی دارد. ایشان مدل نهایی که به زمین‌لرزه نسبت می‌دهند حدود ۲۰٪ افزایی زمین‌لرزه را ناشی از حرکت

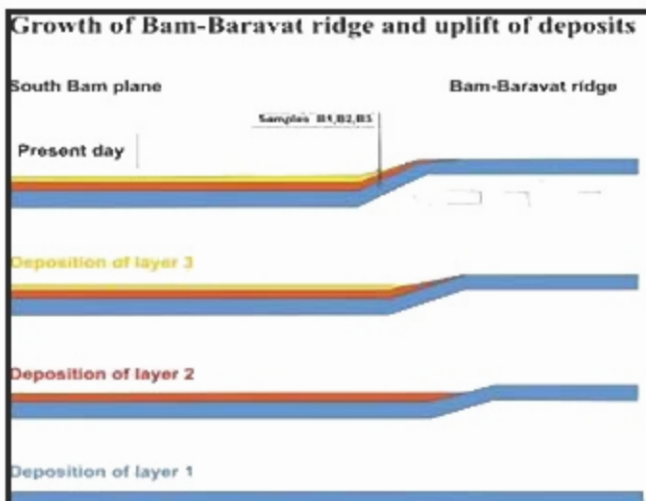
جدول ۱- نتایج تعیین سن مطلق نمونه‌های مربوط به گسل به-برآوات

Sample ID	Elevation relative to nearest drainage level	Depth from surface(cm)	Annual (Gy/ka)	\pm	Age (ka)	\pm
B1 Drainage 1 (top)	255	70	5.01	0.20	9.17	1.5
B2 Drainage 1 (Middle)	135	190	4.52	0.20	11.07	0.9
B3 Drainage 1 (bottom)	70	255	3.22	0.17	19.21	1.8



شکل ۳- جایی‌جایی‌های لولزه‌گیری شده بر روی گسل زمین‌ترزه‌ای به قلچ زده رنگ مکان پوشیده چاپ چاپ سطوح را نشان می‌دهد. هر در تصویر مست چه و راست بر اساس پردازش داده‌های ماهواره‌راهنمای Envisat تهیه شده‌اند (Fielding et al., 2005) و گپتگل سطوح همراه با زمین‌ترزه به راشان می‌عطفد. درایر کوچکه در تصویر مست راست نتایج GPS اندازه‌گیری شده بر روی زمین است.





شکل ۵- نمای شماپک از رسوبگذاری و دند جوزمان تاکنیس به- برآورده و سهل‌های نمره‌گیری



شکل ۶- گسل عمودی کن سطحی هزاره باز مین لر به بام در جنوب بام، نمای از دیگله، جایه-چای راستانه راستگرد را تشن من دهد.



شکل ۷- آبرفت‌های ۲۰۰۰ متر در انتهاي تکنیس به- برآورده و سهل‌های نمره‌گیری

References

- Allen, M., Jackson, J. & Walker, E., 2004- Late Cenozoic reorganization of the Arabia-Eurasia collision and the comparison of short- term and long term deformation rates. *Tectonics*, 23, TC2008.
- Ahmadvaei, N. N. & Melville, C. P., 1982- A history of Persian earthquakes, Cambridge University Press, UK, 219pp.
- Baynaghiun, A., Jackson, J., Ritz, J.-F. & Carretier, S., 1999- Field examples of strike-slip fault terminations in Mongolia and their tectonic significance, *Tectonics*, 18, 394–411.
- Berberian, M., 1976- Contribution to the seismotectonics of Iran (Part II). Report No. 39, Geological Survey of Iran.
- Berberian, M., 1994- Natural hazards and the first earthquake catalogue of Iran. Volume 1: Historical hazards in Iran prior to 1900. Int. Inst. Earthquake Engineering and Seismology, Tehran, 603pp.
- Berberian, M. & Qorashi, M., 1994- Coseismic fault-related folding during the south Gohaf earthquake of November 20, 1989, in
- Berberian, M., Jackson, J. A., Qorashi, M., Talebian, M., Khatib, M. M. & Priestley, K., 2000- The 1994 Sefidabeh earthquake in eastern Iran: blind thrusting and bedding-plane slip on a growing antiform, and active tectonics of the Sistan active zone. *Geophys. J. Int.*, 142, 283–299.
- Binet, R. & Bollinger, L., 2005- Horizontal coseismic deformation of the 2003 Bam (Iran) earthquake measured from SPOT-5 HR satellite imagery, *Geophys. Res. Lett.*, 32, L02307.
- Chu, D. and Gordon, R. G., 1998- Current plate motions across the Red Sea, *Geophys. J. Int.*, 135, 313–328.
- DeMets, C., Gordon, R. G., Argus, D. F. and Stein, S., 1994- Effect of recent revisions to the geomagnetic reversal time scale on estimates of current plate motions, *Geophys. Res. Lett.*, 21, 2191–2194.
- Bugdahl, R. E., van der Hilst, R. & Buland, R., 1998- Global teleseismic earthquake relocation with improved travel times and procedures for depth determination, *Bull. Seismol. Soc. Am.*, 88, 722–743.
- Fialko, Y., Sandwell, D., Simons, M. & Rosen, P., 2005- Three-dimensional deformation caused by the Bam, Iran, earthquake and the origin of shallow slip deficit. *Nature*, 435, 295–299.

- Fielding, E. J., Wright, T. J., Muller, J., Parsons, B. E. & Walker, R., 2004- Aseismic deformation of a fold-and-thrust belt imaged by synthetic aperture radar interferometry near Shahdad, southeast Iran. *Geology*, 32, 577– 580.
- Fielding, E. J., Talebian, M., Rosen, P. A. Nazari, H., Jackson, J. A., Ghorashi, M. & Walker, R., 2005- Surface ruptures and building damage of the 2003 Bam, Iran earthquake mapped by satellite synthetic aperture radar interferometric correlation. *J. Geophys. Res.*, 110, BO3302.
- Fu, B., Yoshiki, N., Lei, X., Toda, S. & Awata, Y., 2004- Mapping active fault associated with the 2003, Mw 6.6 Bam (SE Iran) earthquake with ASTER 3D images. *Remote Sensing of Environment*, 92, 153–157.
- Funning, G. J., Parsons, B. E., Wright, T. J., Jackson, J. A. & Fielding, E. J., 2005. Surface displacements and source parameters of the 2003 Bam (Iran) earthquake from Envisat advanced synthetic aperture radar imagery. *J. Geophys. Res.*,
- Jackson, J., 1992- Partitioning of strike-slip and convergent motion between Eurasia and Arabia in eastern Turkey and the Caucasus, *J. Geophys. Res.*, 97, 12471-12479.
- Jackson, J., 2001- Living with earthquakes: know your faults. *Journal of Earthquake Engineering*, Vol. 5, Special Issue 1, 5-1.
- Jackson, J. and McKenzie, D., 1984- Active tectonics of the Alpine-Himalayan belt between western Turkey and Pakistan, *Geophys. J. R. Astron. Soc.*, 77, 185 – 264.
- Jackson, J. and McKenzie, D., 1988- The relationship between plate motions and seismic moment tensors, and the rates of active deformation in the Mediterranean and Middle East, *Geophys. J.*, 93, 45 – 73.
- Jackson, J. A., Haines, J. and Holt, W., 1995 - The accommodation of Arabia-Eurasia plate convergence in Iran, *J. Geophys. Res.*, 100, 15, 205– 15,219.
- Jackson, J., Bouchon, M., Fielding, E., Funning, G., Ghorashi, M., Hatzfeld, D., Nazari, H., Parsons, B., Priestley, K., Talebian, M., Tatar, M., Walker, R., Wright, T., 2006- Seismotectonic, rupture process, and earthquake-hazard aspects of the 2003 December 26 Bam, Iran, earthquake. *Geophys. J. Int.*, 166, 3, 1270-1292, doi: 10.1111/j.1365-246X.2006.03056.x.
- Jestin, F., Huchon, P. and Gaulier J. M., 1994- The Somalia plate and the East African Rift System: Present-day kinematics, *Geophys. J. Int.*, 116, 637 – 654.
- Masson, F., Ch'ery, J., Martinod, J., Hatzfeld, D., Vernant, P., Tavakoli, F. & Ashtiani, A., 2005- Seismic versus aseismic deformation in Iran inferred from GPS and seismicity data, *Geophys. J. Int.*, 160, 217–226.
- McClusky, S., Balassanian, S., Barka, A., Demir, C., Ergintav, S., Georgiev, I., Gurkan, O., Hamburger, M., Hurst, K., Kahle, H.-G., Kastens, K., Kekelidze, G., King, R., Kotzov, V., Lenk, O., Mahmoud, S., Mishin, A., Nadariya, M., Ouzounis, A., Paradissis, D., Peter, Y., Prilepin, M., Reilinger, R., Sanli, I., Seeger, H., Tealeb, A., Toksoz, M.N. and Veis, G., 2000- Global Positioning System constraints on plate kinematics and dynamics in the eastern Mediterranean and Caucasus, *J. Geophys. Res.*, 105, 5695-5719,
- McClusky, S., Reilinger, R., Mahmoud, S., Ben Sari, D., Tealeb, A., 2003- GPS constraints on Africa (Nubia) and Arabia plate motions, *Geophysical Journal International*, 155 (1), 126–138 doi:10.1046/j.1365-246X.2003.02023.x
- Nakamura, T., Suzuki, S., Sadeghi, H., Aghada, S. M. F., Matsushima, T., Ito, Y., Hosseni, S. K., Gandomi, A. J. & Maleki, M., 2005- Source fault structure of the 2003 Bam earthquake, southeastern Iran, inferred from the aftershock distribution and its relation to the heavily damaged area: existence of the Arg-e-Bam fault proposed. *Geophys. Res. Lett.*, 32, L09308.
- Parsons, B., Wright, T., Rowe, P., Andrews, J., Jackson, J., Walker, R., Khatib, M., Talebian, M., Bergman E., and Engdahl, E. R., 2005- The 1994 Sefidabeh (eastern Iran) earthquakes revisited: new evidence from satellite radar interferometry and carbonate dating about the growth of an active fold above a blind thrust fault , *Geophys. J. Int.* doi: 10.1111/j.1365-246X.2005.02655.x.
- Sella, G. F., Dixon, T. H. & Mao, A., 2002- REVEL: A model for recent plate velocities from space geodesy, *J. Geophys. Res.*, 107(B4), 10.1029/2000JB000033.
- Talebian, M. & Jackson, J., 2004- A reappraisal of earthquake focal mechanisms and active shortening in the Zagros mountains of Iran. *Geophys. J. Int.*, 156, 506–526.
- Talebian, M., Fielding, E., Funning, G., Ghorashi, M., Jackson, J., Nazari, H., Parsons, B., Priestley, K., Rosen, P., Walker, R. & Wright, T., 2004- The 2003 Bam (Iran) earthquake: rupture of a blind strike-slip fault. *Geophys. Res. Lett.*, 31, L11611.
- Talebian, M., Biggs, J., Bolourchi, M., Copley, A., Ghassemi, A., Ghorashi, M., Hollingsworth, J., Jackson, J., Nissen, E., Oveisi, B., Parsons, B., Priestley, K. & Saeidi, A., 2006- The Dahuiyeh (Zarand) earthquake of 22 February 2005 in central Iran: reactivation of an intra-mountain thrust, *Geophys. J. Int.*, 164, 137-148, doi: 10.1111/j.1365-246X.2005.02839.x.
- Tatar, M., Hatzfeld, D., Martinod, J., Walpersdorf, A., Ghafori-Ashtiani, M. & Ch'ery, J., 2002- The present day deformation of the Central Zagros (Iran), *Geophys. Res. Lett.*, 29, 33-1 to 33-4, doi:10.1029/2002GL015159.
- Tatar, M., Hatzfeld, D., Moradi, A. S. & Paul, A., 2005- The 2003 December 26 Bam earthquake (Iran), Mw 6.6, aftershock sequence. *Geophys. J. Int.*, 163, 90-105.
- Vernant, P., Nilforoushan, F., Hatzfeld, D., Abbassi, M., Vigny, C., Masson, F., Nankali, H., Martinod, J., Ashtiani, A., Bayer, R. Tavakoli, F. and Ch'ery, J., 2004- Contemporary Crustal Deformation and Plate Kinematics in Middle East Constrained by GPS measurements in Iran and Northern Oman, *Geophys. J. Int.*, 157, 381-398.
- Walker, R. & Jackson, J.A., 2002- Offset and evolution of the Gowk fault, S.E. Iran: a major intra-continental strike-slip system. *J. Struct. Geol.*, 24, 1677–1698.
- Walker, R. & Jackson, J., 2004- Active tectonics and late Tertiary strain distribution in central and eastern Iran. *Tectonics*, 23, TC5010.
- Wang, R., Xia, Y., Grosser, H., Wetzel, H-U., Kaufmann, H. & Zschau, J., 2004- The 2003 Bam (SE Iran) earthquake: precise source parameters from satellite radar interferometry, *Geophys. J. Int.*, 159, 917– 922.

Estimating Slip Rates of Faults around Bam and their Application in Evaluation of Earthquake Hazard

M. Tahmasebi¹, S. H. Tahmasebi², M. Fazeli³, M. Ghazalzadeh⁴, A. Behroozinia⁵, A. Chahardousti⁶ & M.A. Riahi⁷

Research Institute for Earth Sciences, Geological Survey of Iran, Tehran, Iran

Building and Housing Research Center, Tehran, Iran

¹Institute of Geophysics, University of Tehran, Tehran, Iran

²University College of Engineering, University of Tehran, Tehran, Iran

³Received: 2004 May 06 Accepted: 2008 November 10

Abstract

The Iranian plateau lies between the Arabian and Eurasian plates and accommodates approximately 22 mm/yr of N-S shortening. About 9 mm/yr of this shortening is taken up by folding and thrusting in the Zagros while the remaining 13 mm/yr is taken up in the Alborz and Kopet-Dagh. The Central Iran block is relatively stable and thus moves to the north with an average velocity of about 15 mm/yr. As the stable Afghanistan block lies to the east, the northward motion of Central Iran produces a right-lateral shear in eastern Iran, which is distributed mainly over a few major faults to the west (~5 mm/yr) and east (~8 mm/yr) of the Lut desert. Limited information is available about the slip rates of individual faults in eastern Iran; therefore in this study we try to combine all geological, geodetic and available Quaternary dating results to estimate the fault slip rates and distribution of active deformation in eastern Iran. Finally, we report the results from DGL-dating of samples taken from uplifted plain deposits near the south end of the Bam-Barrat fault. These results show that this fault is growing in the vertical direction with at a rate of ~ 0.5 mm/yr⁻¹. Considering geometric relation between the Bam-Barrat and the South East earthquake fault, we estimate a slip rate of about 2 mm/yr for the south Bam earthquake fault.

Key Words: Bam, Earthquake, Iran, Slip Rate, Fault

For Persian Version see pages 149 to 156

*Corresponding author: M.Tahmasebi; E-mail: Tahmasebi@geol.ir